

## GAMAT2 - GERADOR AUTOMÁTICO DE MALHAS TRIANGULARES DE ELEMENTOS FINITOS LINEARES E QUADRÁTICOS

Antonio C. S. Guimarães e Raul A. Feijóo  
Laboratório Nacional de Computação Científica  
Rua Lauro Muller 455, 22290, Rio de Janeiro, Brasil

**RESUMO** - O presente trabalho tem por objetivo apresentar o desenvolvimento do programa **GAMAT2** que permite a geração automática de malhas de elementos finitos de tipo triangular linear ou quadrático em regiões bidimensionais arbitrárias multiplamente conexas.

### 1. INTRODUÇÃO

O Método dos Elementos Finitos (MEF) é uma das ferramentas disponíveis atualmente que se caracteriza por sua versatilidade e por sua capacidade em resolver os problemas, cada vez mais complexos, que surgem na engenharia. Uma das dificuldades no emprego do método reside na preparação dos dados a serem fornecidos aos programas de cálculo. Esta etapa geralmente consome muito tempo, é tediosa e causadora de inúmeros erros.

Uma etapa importante na preparação dos dados é a relacionada com a malha de elementos finitos, definição das incidências e coordenadas dos nós necessários para isto.

Nos últimos dez anos, numerosos pesquisadores vêm concentrando seus trabalhos no desenvolvimento de técnicas automáticas de geração de malha como meio de reduzir o tempo e o esforço necessários para elaborar os modelos de elementos finitos.

Os geradores automáticos de malhas mais conhecidos empregam, entre outras, alguma (ou a combinação) das seguintes técnicas:

- triangularizações automáticas [1-6],
- transformação de coordenadas e
- mapeamentos conformes, isoparamétricos, transfinitos [7-13],
- árvores modificadas [14-16],

Nos trabalhos de Thacker [17], e de Ho-Le [18], pode-se encontrar uma extensa bibliografia, assim como uma classificação e revisão dos trabalhos mais significativos na área.

O presente trabalho tem por objetivo apresentar o desenvolvimento de um programa de geração automática de malhas de elementos finitos de tipo triangular em regiões bidimensionais arbitrárias. Baseado no algoritmo proposto por Lo [21], foi desenvolvido em linguagem C o programa **GAMAT2**. Os aspectos mais relevantes desta implementação assim como algumas aplicações, para mostrar a versatilidade do algoritmo, são apresentados a seguir.

### 2. GERAÇÃO AUTOMÁTICA DE TRIÂNGULOS

Entre as diferentes técnicas de geração automática de malhas, uma que se apresenta como vantajosa quando comparada às outras é a

geração automática de triângulos. Entre estas vantagens podemos mencionar:

- o domínio pode ser de forma qualquer, simples ou múltiplemente conexo,
- os contornos do domínio podem ser também sumamente complexos, sem por isto afetar a performance do processo de geração,
- não é necessário subdividir o corpo em subregiões convexas,
- o número de elementos em torno de um nó comum não está limitado e a posição relativa destes nós não está predeterminada por alguma fórmula ou transformação matemática,
- o tempo necessário para a geração da triangularização é virtualmente independente da topologia e da geometria do domínio bidimensional que se deseja triangularizar,

Basicamente, a região bidimensional que se deseja triangularizar é particionada em uma ou mais subregiões. No caso particular de uma triangularização homogênea (isto é, todos os elementos tem aproximadamente o mesmo tamanho), pode-se empregar uma só região, porém se recomenda a partição em mais de uma região, já que isto permitirá reduzir os tempos computacionais gastos na geração da malha. Esta partição põe em evidência uma série de contornos que limitam o domínio e permitem caracterizar cada uma das subregiões.

O contorno de cada uma destas subregiões está caracterizado pela união de segmentos de reta e de círculo (a extensão a outros tipos de curvas planas não apresenta dificuldade alguma) orientados de maneira tal que, quando o contorno é percorrido, a subregião encontra-se sempre à esquerda. Se a subregião é simplesmente conexa o anterior implica em:

- o contorno está formado por um laço fechado simples de segmentos de reta e círculos,
- o contorno será percorrido no sentido anti-horário.

No caso de subregião múltiplemente conexa, o contorno estará formado por vários laços fechados, o externo percorrido no sentido anti-horário e os internos (tantos quantas aberturas internas existam na subregião) percorridos em sentido horário.

Sobre cada um destes segmentos de reta ou círculos é gerado um conjunto de pontos. Estes pontos permitem construir a lista inicial dos segmentos que serão lados dos triângulos a serem gerados na subregião. Esta lista de lados é comumente chamada de "front inicial" ou simplesmente de "front".

Posteriormente, o algoritmo gera de maneira simples e eficiente um conjunto de nós que pertencem ao interior da região. A lista de nós assim gerados será chamada de "nós interiores". Com o "front inicial" e com os "nós interiores" o algoritmo conecta todos estes nós de maneira a gerar triângulos que não se superpõem, tais que a união dos mesmos gere toda a subregião e, finalmente, de forma o mais equilátera possível na medida em que os "nós interiores" o permitam.

### 3. DEFINIÇÃO DOS CONTORNOS E SUBREGIÕES

Como já mencionamos, o primeiro passo no algoritmo consiste em caracterizar o domínio, que chamaremos de **CORPO**, e cada uma das subregiões em que foi particionado. Temos assim os seguintes atributos para o **CORPO**:

**CORPO** <contornos; nós; subregiões>

Os contornos ficam definidos através dos seguintes atributos:

**CONTORNO** <cont, noi, nof, npart, tipo, coorxc, cooryc>

onde:

**cont** : número do contorno,

**noi** : número do nó inicial,

**nof** : número do nó final,

**npart** : número de partições que permite ao algoritmo gerar a lista "front",

**tipo** : RETO ou CIRCULAR

**coorxc**: coordenada x do centro do círculo (somente para tipo CIRCULAR)

**cooryc**: coordenada y do centro do círculo (somente para tipo CIRCULAR).

Como podemos observar, para definir cada contorno é necessário fornecer o número do nó inicial e final. Assim, para a caracterização destes contornos é necessário ainda fornecer as coordenadas destes nós. Em outras palavras, os atributos dos **NOS** são as suas coordenadas:

**NOS** <coorx; coory>

Para facilitar a geração dos triângulos, permitindo ter diferentes tamanhos de elementos no corpo, assim como diminuir o tempo gasto na geração, o corpo pode ser particionado em uma ou várias subregiões.

Estas regiões podem ser de tipo SHARP, RADIAL, ANEL ou OUTRAS, dependendo do tipo de refinamento e/ou geração dos nós interiores a estas subregiões (figuras 1a e 1b).

A definição de cada uma destas regiões depende do tipo. Em particular para todas elas é necessário fornecer quais são os contornos que as limitam. Mas, desta vez, os contornos deverão estar orientados, isto é, o sentido noi→nof deve ser tal que a região fique à esquerda (figura 1b).

Por exemplo, a região de tipo OUTRAS (figura 1b) fica definida através dos seguintes atributos:

região OUTRAS <ncont; [cont, noi, nof]<sub>i = 1, ncont</sub>; h; nfix;  
[cx, cy]<sub>i = 1, nfix</sub>>

onde:

**ncont** : é o número de contornos que limitam a região de tipo OUTRAS

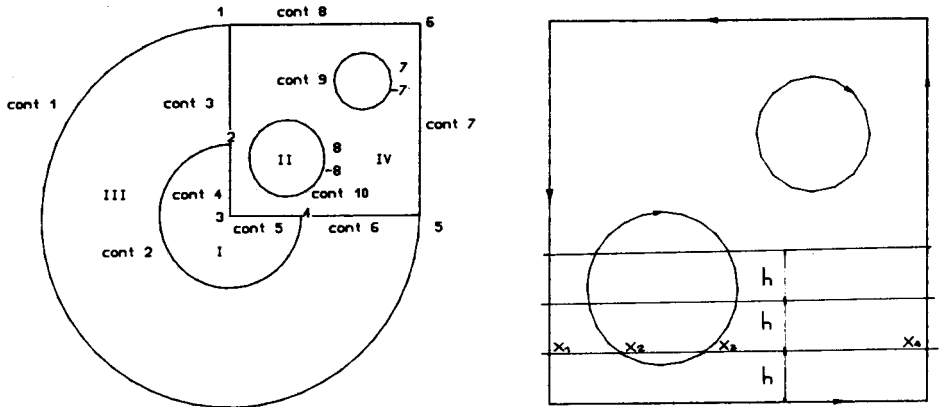
**cont<sub>i</sub>** : número do i-ésimo contorno da região

**noi<sub>i</sub>-nof<sub>i</sub>** : nos inicial e final do i-ésimo contorno *orientado*

**h** : tamanho médio do elemento

$n_{fix}$  : número de nós interiores fixos  
 $cx_i - cy_i$  : coordenadas x e y do i-ésimo nó fixo

Os nós fixos constituem um recurso disponível ao usuário para que, durante a geração dos triângulos, certos nós estejam já pre-estabelecidos facilitando a modelagem.



(a)

(b)

Figura 1: I - SHARP, II - RADIAL, III - ANEL, IV - OUTRAS

#### 4. GERAÇÃO DO "FRONT" INICIAL E DOS "NÓS INTERIORES"

A partir da definição das regiões, o algoritmo procede a geração do que chamamos de "front" e de "nós interiores".

##### Geração do "front"

A geração do front fica enormemente simplificada ao trabalharmos em linguagem G. Em efeito o algoritmo procede da seguinte forma:

- 1) para cada contorno  $cont_i$  de uma dada região se constroem os  $npart_i$  segmentos (de tipo RETO ou CIRCULAR dependendo do tipo do contorno  $cont_i$ ) orientados e a informação relativa a cada uma destes segmentos é inserida em uma lista chamada "front".

##### Geração dos "nós interiores"

Embora existam diversas técnicas para a geração de nós interiores a uma região [17-20], adotou-se a proposta por Lo [21] por sua simplicidade, por sua versatilidade para adaptar-se a qualquer tipo de domínio e por sua eficiência computacional. Assim o algoritmo procede a:

- 2) a partir da informação contida em "front" se calcula  $y_{min}$  e  $y_{max}$  da região,

- 3) linhas horizontais imaginárias entre  $y_{\min}$  e  $y_{\max}$  são construídas, sendo sua separação dada por  $h$ , tamanho médio do elemento na região.
- 4) para cada linha horizontal dada pela equação  $y = H$ , se calcula as intersecções com cada um dos segmentos contidos em "front",
- 5) em cada linha horizontal teremos sempre um número par de intersecções que por sua vez são colocados em ordem crescente, isto é  $x_1 < x_2 < x_3 < x_4 < \dots < x_{2n}$  (figura 1b).
- 6) assumindo que existem  $2n$  intersecções, e tomando estas intersecções de duas em duas (começando pela primeira e segunda intersecções) são gerados pontos igualmente espaçados na magnitude  $h$ . Estes nós serão incorporados a lista "nós interiores" se:
  - a distância a qualquer nó de "front" seja maior ou igual a  $0.7 \times h$ ,
  - a distância a qualquer nó de tipo interior fixo seja maior ou igual a  $0.7 \times h$ ,
- 7) repetir o processo até esgotar todos os pares de intersecções e todas as linhas horizontais imaginárias.
- 8) incorporar na lista "nós interiores" os nós fixos da região.

As vantagens deste processo de geração dos nós interiores são óbvias e foram ressaltadas por Lo [21]. Assim temos, por exemplo:

- os nós interiores já gerados não precisam ser levados em conta na geração de um novo nó (a distância entre eles será sempre maior que  $0.7 \times h$ ),
- não é necessário implementar nenhum teste vigoroso de consistência como ocorre geralmente nos procedimentos comumente existentes na literatura [21].

O anterior se traduz em um algoritmo muito eficiente, tanto do ponto de vista de sua implementação como do ponto de vista da sua eficiência no referente a tempo computacional gasto na geração destes nós interiores.

A geração de nós interiores nas regiões tipo SHARP, RADIAL e ANEL segue um procedimento algo diferente ao anteriormente descrito, que procura gerar um refinamento progressivo.

Considere dois arcos de círculos concêntricos e sejam  $d_0$  e  $d_i$  o espaçamento entre os nós em cada um destes arcos, novos nós interiores são gerados de maneira a estarem em um outro arco de círculo concêntrico aos anteriores e caracterizado pelas seguintes expressões ( Figura 2):

$$\lambda = \frac{S + d_0}{S + d_i}, \quad d = \frac{\lambda - 1}{\lambda^N - 1} S, \quad d_i = \frac{d_0}{\exp(N \cdot \log \lambda)}$$

onde  $N$  é o número de camadas de triângulos a serem gerados entre ambos os arcos de círculo.

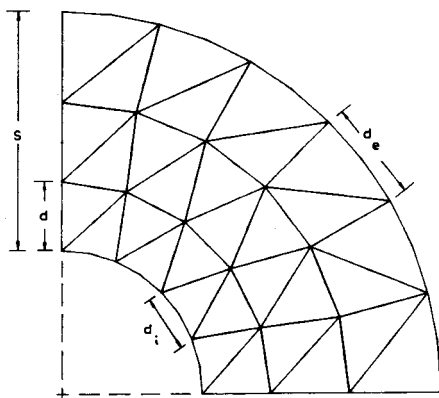


Figura 2.

## 5. GERAÇÃO DOS TRIÂNGULOS

Tendo já construídas as duas listas "front" e "nós interiores", passamos a descrever como o algoritmo procede a interconectar estes nós de maneira a gerar a triangularização.

Como já mencionamos e devido a orientação dos contornos, ao percorrer no sentido noi-nof qualquer segmento pertencente a "front", a região a ser triangularizada sempre estará a esquerda.

Embora o contorno da região sempre seja o mesmo durante todo o processo de triangularização, o mesmo não ocorre com o "front". Na etapa inicial ambos são exatamente iguais mas, a medida que um novo triângulo é gerado, o "front" é modificado, assim como a lista de "nós interiores". O procedimento continua até que as listas "front" e "nós interiores" não tenham nenhum elemento, isto é, estejam vazias.

Para gerar um triângulo se procede da seguinte forma:

- 1) da lista "front" se constrói uma outra lista contendo os nós do front que chamaremos "nofront".
- 2) Se a lista "front" não está vazia, se toma um elemento da mesma, por exemplo o primeiro da lista que chamaremos de segmento AB. O método consiste em escolher entre os nós existentes em "nofront" e "nós interiores" o nó C tal que se encontre a esquerda do segmento AB e tal que o triângulo ABC seja "ótimo" em algum sentido que explicitaremos mais adiante. A escolha do nó C entre os nós de "nofront" ou de "nós interiores" permite eliminar todo teste de consistência associado à possíveis intersecções com a fronteira da região ou com os triângulos já gerados, o que garante uma grande eficiência computacional do algoritmo. O único teste está relacionado com a colocação do nó C em relação ao segmento AB. Isto é facilmente estabelecido exigindo-se que  $\Delta ABC > 0$  ( $\Delta ABC = 0.5 \cdot AB \times BC$ , área do triângulo).

- 3) Escolhido o nó C, o segmento AB é eliminado da lista "front" e as listas "front", "nofront" e "nós interiores" são atualizadas.
- 4) O processo se repete até que as listas "front" e "nós interiores" fiquem vazias, o que deve acontecer simultaneamente (figura 3).

#### Escolha do nó C

A escolha do nó C se realiza da seguinte maneira:

- 1) Se determinam os nós  $C_1$  e  $C_2$  tais que

$$\Delta ABC_1 > 0 \text{ e } \Delta ABC_2 > 0$$

$$\langle AB^2 + BC_1^2 \rangle \leq \langle AB^2 + BC_2^2 \rangle \leq \langle AB^2 + BD^2 \rangle$$

$$\forall D \in \text{"nofront"} \text{ e "nós interiores"}$$

- 2) A escolha entre os nós  $C_1$  e  $C_2$  é feita de maneira a escolher o triângulo mais equilátero possível para o qual as seguintes expressões são calculadas (Lo [21]):

$$\alpha_1 = \Delta ABC_1 / \langle AB^2 + BC_1^2 + C_1A^2 \rangle$$

$$\alpha_2 = \Delta ABC_2 / \langle AB^2 + BC_2^2 + C_2A^2 \rangle$$

$$\beta_1 = \Delta C_1BC_2 / \langle C_1B^2 + BC_2^2 + C_2C_1^2 \rangle, \quad \beta_2 = -\beta_1$$

$$\theta_1 = \Delta AC_1C_2 / \langle AC_1^2 + C_1C_2^2 + C_2A^2 \rangle, \quad \theta_2 = -\theta_1$$

$$\lambda_1 = \max(\beta_1, \theta_1), \quad \lambda_2 = \max(\beta_2, \theta_2)$$

Com estes valores o nó  $C_1$  é escolhido se  $\alpha_1\lambda_1 > \alpha_2\lambda_2$  e vice-versa.

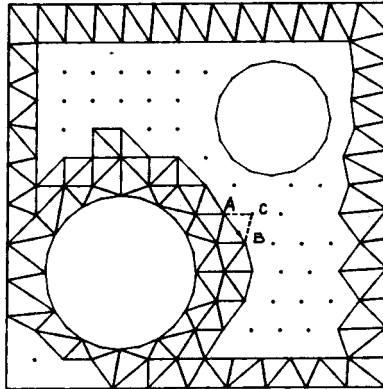


Figura 3. Estágio intermediário da geração de triângulos

## 6. REGULARIZAÇÃO DOS TRIÂNGULOS E NUMERAÇÃO ÓTIMA DOS NÓS

Durante o processo de geração automática de elementos finitos, alguns destes elementos podem ser gerados com uma forma inadequada. Nestes casos, técnicas de regularização que permitam melhorar a malha resultam sumamente úteis. Uma das técnicas de regularização mais popular é a "regularização Laplaciana", adotada no presente trabalho, na qual se procura estebelecer a nova posição dos nós de maneira que os nós internos fiquem no centróide do polígono formado pelos elementos finitos a eles associados. Esta reposição geralmente é feita de maneira iterativa, embora esquemas diretos existam na literatura.

Em alguns casos, a "regularização Laplaciana" pode proporcionar ainda elementos de forma inadequada. Herrmann [7] propõe nestes casos uma reposição do nó interno dada pela expressão:

$$P_j = \frac{1}{N(2-w)} \sum_{k=1}^N (P_{nj} + P_{nk} - w P_{nk})$$

onde  $N$  é o número de elementos ao redor do nó "i" e  $w$  ( $0 \leq w \leq 1$ ) é um coeficiente que caso tome o valor  $w = 0$  a expressão anterior correspondera à regularização Laplaciana. Se  $w = 1$  teremos a técnica chamada de "isoparamétrica".

Outro aspecto muito importante no processo de geração automática é o relacionado com a numeração dos nós e/ou elementos. Esta numeração de nós e elementos deve ser feita de maneira a reduzir os tempos computacionais necessários na montagem e resolução do sistema de equações que surge ao empregar o MEF. No caso de adotarmos uma técnica de resolução do tipo frontal, a correta numeração dos elementos é importante. Nos outros casos, tais como técnicas de Gauss ou Choleski, é importante a numeração dos nós.

Na presente versão do programa GAMAT2 foi prevista a otimização da semi-largura de banda do sistema de equações, isto é, os nós são numerados de maneira a minimizá-la [8].

## 7. APLICAÇÕES

### EXEMPLO 1

O exemplo 1 apresenta a triangularização antes e após o processo de "smooth" do corpo empregado na figura 1. O número total de nós gerados é de 869 e o número de elementos quadráticos de 412 (figuras 4a e 4b).

### EXEMPLO 2

A figura 5 apresenta em escala log-log os tempos gastos na geração de triângulos por número de elementos gerados. Os equipamentos empregados são um micro computador XT com clock de 8 Mhz e um AT com clock de 12 Mhz. A curva "1 Reg. XT" corresponde à geração de 50, 200 e 800 elementos tomando-se apenas uma região. As curvas "4 Reg. XT" e "4 Reg. AT" correspondem à geração de 200, 800 e 3200 elementos tomando-se 4 regiões com 50, 200 e 800



elementos respectivamente. Como se pode observar, é conveniente a partição da região em subregiões, já que isto acelera o processo de geração.

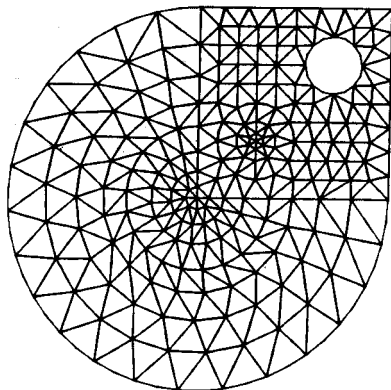


Figura 4a: Sem SMOOTH

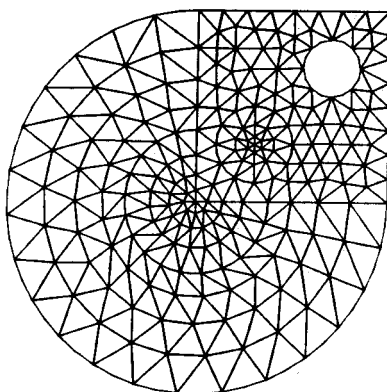


Figura 4b: Com SMOOTH

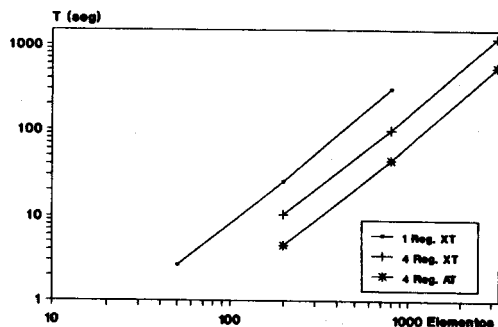


Figura 5. Performance

#### BIBLIOGRAFIA

- [1] CAVENDISH, J.C.; "Automatic Triangularization of Arbitrary Planar Domains for the Finite Element Method", Int. J. Numerical Methods Eng., Vol. 8, No 4, 1974, 679-696.
- [2] TRACY, F.T.; "Graphics Pre- and Post-Processor for Two-Dimensional Finite Element Programs"; Computer Graphics, Vol. 11, No 2, 1977, 8-12.
- [3] BYKAT, A.; "Automatic Generation of Triangular Grid: I-Subdivision of General Polygon into Convex Subregions. II-Triangulation of Convex Polygons"; Int. J. Numerical Methods Eng., Vol. 10, No 6, 1976, 1329-1342.
- [4] SADEK, E.A.; "A Scheme for the Automatic Generation of Triangular Finite Elements"; Int. J. Numerical Methods Eng., Vol. 15, No 12, 1980, 1813-1822.
- [5] CAVENDISH, J.C.; FIELD, D.A., FREY, W.H.; "An Approach to Automatic Three-Dimensional Finite Element Mesh Generation";

- Int. J. Numerical Methods Eng. Vol 21, 1985, 329-347.
- [6] BOUBEZ, T.I., FUNNELL, W.R.J., LOWTHER, D.A. PINCHUK, A.R. and SILVESTER, P.P.; "Mesh Generation for Computational Analysis"; *Compt.-Aided Eng. J.*, 1986, 190-201.
- [7] HERMANN, L.R.; "Laplacian-Isoparametric Grid Generation Scheme"; *J. of the Mechanics Division of the American Society of Civil Engineers*, Vol 102, No EMS, 1976, 749-756.
- [8] VENERE, M.J.; "Generador de Redes ENREDO"; *Publicação Interna Centro Atômico Bariloche, Argentina*, 1987.
- [9] BROWN, R.P.; "A Non-Interactive Method for the Automatic Generation of Finite Element Meshes Using the Schwarz-Christoffel Transformation"; *Computer Methods Appl. Mechanics an Eng.*, Vol. 25, No 1, 1981, 101-126.
- [10] ZIENKIEWICZ, O.C., PHILIPS, D.V.; "An Automatic Mesh Generation Scheme for Plane and Curves Surfaces by Isoparametric Co-ordinates"; *Int. J. Numerical Methods Eng.*, Vol. 3, No 4, 1971, 519-528.
- [11] COOK, W.A.; "Body Oriented (natural) Co-ordinates for Generating Three-Dimensional Meshes"; *Int. J. Numerical Methods Eng.*, Vol. 8, No 1, 1974, 27-43.
- [12] GORDON, W.J., HALL, C.A.; "Construction of Curvilinear Co-ordinates Systems and Applications to Mesh Generation"; *Int. J. Numerical Methods Eng.*, Vol. 7, No 4, 1973, 461-477.
- [13] HABER, R.B., SHEPHARD, M.S., ABEL, J.F., GALLAGHER, R.H. and GREENBERG, D.P.; "A General Two-Dimensional Finite Element Preprocessor Utilizing Discrete Transfinite Mappings"; *Int. J. Numerical Methods Eng.*, Vol. 17, No 7, 1981, 1015-1044.
- [14] YERRY, M.A., SHEPHARD, M.S.; "A Modified Quadtree Approach to Finite Element Mesh Generation"; *IEEE Computer Graphics Appl.*, Vol. 3, No 1, 1983, 39-46.
- [15] YERRY, M.A., SHEPHARD, M.S.; "Automatic Three-Dimensional Mesh Generation by the Modified-Octree Technique"; *Int. J. Numerical Methods Eng.*, Vol. 20, 1984, 1965-1990.
- [16] KELA, A., SAXENA, M., PERUCCHIO, R.; "A Hierarchical Structure for Automatic Meshing and Adaptive FEM Analysis"; *Eng. Comput.*, Vol. 4, 1987, 104-111.
- [17] THACKER, W.G.; "A Brief Review of Techniques for Generating Irregular Computational Grids"; *Int. J. Numerical Methods Eng.*, Vol. 15, 1980, 1335-1341.
- [18] HO-LE, K.; "Finite Element Mesh Generation Methods: a Review and Classification"; *Computer Aided Design*, Vol. 20, No 1, 1988, 27-38.
- [19] MCGIRR, M.B., KRAUKLIS, P.; "The Automatic Generation of Arrays of Nodes with Varying Density"; *Computational Techniques and Applications*, CTAC-83, 1984, 229-235.
- [20] FUKUDA, J., SUHARA, J.; "Automatic Mesh Generation for Finite Element Analysis"; *em Advance in Computational Methods in Structural Mechanics and Designs* (J.T.Oden, R.W.Clough and Y.Yamamoto eds.), UAH Press, Huntsville, 1972.
- [21] LO, S.H.; "A New Mesh Generation Scheme for Arbitrary Planar Domains"; *Int. J. Numerical Methods Eng.*, Vol. 21, 1985, 1403-1426.

#### AGRADECIMENTOS

Os autores agradecem a Fundação do Banco do Brasil pelo auxílio outorgado ao Projeto RIP-PROCOM onde este programa está inserido.